

文章编号:1674-2869(2011)04-0065-04

PZT9505型陶瓷介电谱表征

张超,未治奎,余大书*

(天津师范大学物理与电子信息学院,天津 300389)

摘要:通过对溶胶—凝胶法制备的PZT9505陶瓷进行介电谱测试,包括介电温度谱,介电频谱,同时测量其漏电流偏压关系曲线,结果显示:溶胶凝胶方法有利于精确控制材料组分,样品介电常数较大($10^3 \sim 10^4$ 量级)且在较大温度范围内比较稳定,优越于传统固相合成方法,在电工频率范围内存在压电效应,有利于工业应用,样品的介电弛豫不是典型德拜弛豫,属于极化弛豫的多体模型。

关键词:溶胶凝胶;反铁电;介电谱;多体模型

中图分类号:TB332

文献标识码:A

doi:10.3969/j.issn.1674-2869.2011.04.017

0 引言

PZT9505反铁电材料处于反铁电—铁电相区附近,具有丰富的相结构,在应力、温度和电场等外场诱导下发生铁电—反铁电相互转变,可用于工业以及军事领域,如高密度储能电容器,换能器等,有关其相变特性的研究和应用一直备受人们的关注^[1-4]。

介电谱方法已成为分析材料电性能特征的重要手段,通过材料介电参数的介电温谱和介电频谱,结合经典电磁学以及统计物理学理论,分析材料内部电荷以及电荷组在交变电场和温度下的响应过程,得到材料的内部信息^[5]。

对于陶瓷制备方法,由于溶胶凝胶法制备陶瓷较传统熔融陶瓷工艺(固相合成法)具有烧结温度低、所得物质纯度高、化学均匀性好、化学计量准确等优点^[6-8]。因此,本文采用溶胶凝胶方法制备PZT陶瓷,并对其进行介电谱的测试,研究其相变特征。

1 实验过程

以乙酸铅、钛酸丁酯以及硝酸氧锆为原料,无水乙醇和甲醇为溶剂,乙酰丙酮和乙醇胺为添加剂,按照化学式 $\text{Pb}(\text{Zr}_{1-x}\text{Ti}_x)\text{O}_3$ ($x=0.05$),进行秤量、配料。具体操作过程:首先,将钛酸丁酯和无水乙醇按摩尔比1:1混合,室温下搅拌至溶液澄清均一;然后,称取过量15%(摩尔数)的乙酸铅溶解在甲醇中加热混合,冷却到50℃后加入乙酰丙酮与硝酸氧锆,并搅拌均匀;最后,混合以上溶液

并加入乙醇胺搅拌至溶解,同时添加少量蒸馏水。此法可保证钙钛矿结构中处于B位的钛和锆在与铅反应之前充分取代,可以使内部组分分布均匀,获得高质量PZT前驱溶胶。将溶胶在97℃下回流10 h,以便溶胶内部组分充分反应,冷却至130℃并蒸馏4 h,得到PZT的干凝胶。这样既便于保存,又可用干凝胶配制溶胶,利于溶胶的结构和组分均一。将干凝胶放于陶瓷坩埚用电阻炉快速烧至710℃,保温4 h,随炉温降至室温后取出,样品呈淡黄色的膨化状态。用玛瑙研钵朝一个时针方向研磨4 h左右,得到淡黄色细粉末,手感滑腻,加入质量分数为3%聚乙二醇溶液作为粘合剂,将其与粉末拌匀,用压片机将粉末压出PZT陶瓷素坯。

将素坯放进装有 Al_2O_3 粉末的坩埚里并用粉末覆盖,放进电炉快速升温至1200℃稍作保温(约10 min),并降至1000℃,900℃,800℃,710℃,各保温1 h,待自然降至室温时取出。这样烧结属于分步静态快速热处理方法^[9],该法能够防止烧结过程中大晶粒吞并小晶粒的滚雪球效应,实现陶瓷的高致密性。

样品经打磨,抛光,被银电极(利用电阻炉自然升温至550℃,保温10 min后自然降至室温,烧结制成烧银电极并连接引线),之后放入盛有硅油的样品盒里,温度升至120℃后,缓慢加高压至3 kV,保压0.5 h后取出进行电学性能测试。对处理后的材料采用英国WK公司的6540A型精密阻抗分析仪(PIA)测试,具体步骤是将引线放入阻抗分析仪配套的Component Fixture 1011型夹具

收稿日期:2010-12-03

作者简介:张超(1986-),男,天津人,硕士研究生。研究方向:纳米材料物理。

* 通讯作者:余大书(1959-),男,博士,教授。研究方向:纳米功能材料。

中,开机后 10 min 进行测量,以消除设备的残余阻抗。另外在测量介电温谱时,将样品放入 ZNHW 型智能恒温电热套中进行温度控制;样品的漏电流与偏压关系曲线采用 TF2000 铁电测试仪进行测试,辅助介电谱测试中介电损耗的分析。

2 测试结果与分析

2.1 样品介电温谱

样品测试条件:测试电压为 10 mV 交流小信号,根据样品尺寸得到其介电常数—温度关系曲线如图 1。

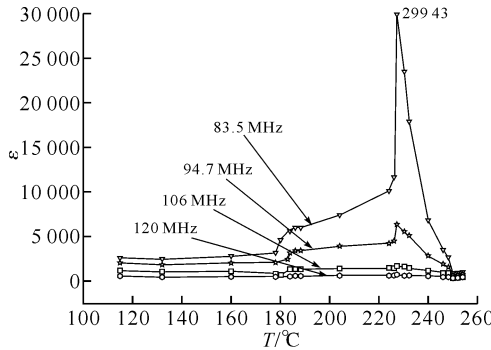


图 1 不同频率下的介电温谱(及最高介电异常峰值 29943)

Fig. 1 Dielectric temperature spectrum in different frequencies (ϵ maximum 29943)

图 1 分别描述了样品在 83.5, 94.7, 106, 120 MHz 高频时的介电常数与温度的关系。介电峰对应的温度基本不随频率变化,说明其属于样品的铁电相变峰^[10]。但是,曲线整体形状与峰值随着频率升高而变化,介电峰逐渐变得不尖锐,说明引起材料高介电常数的铁电畴壁在高频时因为其惯性^[11]已经无法随电场及时改变方向,材料本身相当于一般常规偶极子系统^[12],从而导致介电常数逐渐减弱。因此,分析介电温谱应该同时考虑介电常数随频率的变化趋势,这样结合分析将有助于定性考察影响介电常数的极化机制。

图 2 为 83.5 MHz 时的介电温谱。图 2(a)中,介电常数曲线随温度增加出现两个增长,一个是在 180 °C,一个是在 227 °C,根据 PZT 二元相图反铁电-铁电相区的具体分布以及文献[13]中关于反铁电-铁电-顺电相变的描述,认为在 180 °C 时出现反铁电正交相向高温菱方铁电相转变,在 227 °C 时出现高温菱方铁电相向顺电立方相转变(即居里温度 $T_c=227$ °C);同时从电学性能上说明最终样品的锆钛比是基本处于 9505 的反铁电-铁电相界附近(有些接近 96/04),符合 9505 型反铁电陶瓷的组分要求,材料出现了反铁电-铁电转变^[1],说明本实验的溶胶凝胶方法对于组分的控制是较为

准确,宏观上满足了要求。在以上两个特征温度之间较大的温度范围内,介电常数升高较为平缓(介电常数数量级在 $10^3 \sim 10^4$ 之间),较为稳定,高于固相合成方法合成的相同材料,并且烧结温度也低于固相合成方法^[14-15],该材料在介电方面具有较好的应用前景。

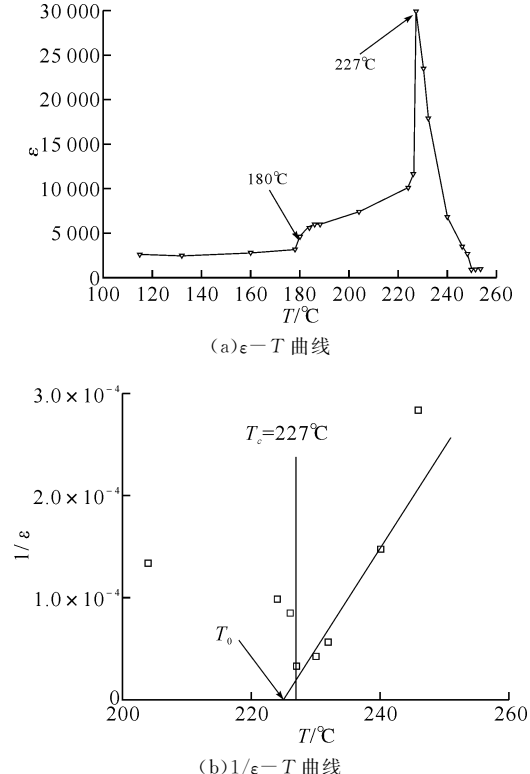


图 2 83.5 MHz 时的介电温谱(在四个频率中低频时图线较为明显,因此选用 83.5 MHz)

Fig. 2 Dielectric temperature spectrum in 83.5 MHz

图 2(b)是根据图 2(a)画出的介电常数倒数与温度曲线,根据居里外斯定律公式 $1/\epsilon=k(T-T_0)$, $1/k$ 为居里外斯常数,在顺电相温区 $1/\epsilon-T$ 图上作拟合斜直线(使多数实验点落在直线附近),直线在温度轴的截距就是居里外斯温度 T_0 ,这里为 225 °C,居里外斯常数的量级为 10^5 K,与锆酸铅相同^[16]。另外,样品的 $T_0 < T_c$,说明其铁电-顺电相变为一级相变,是钙钛矿结构铁电体发生的相变^[12]。但是大于 246 °C 时,介电常数倒数实验点有开始偏离直线的趋势(图 3(b)中未标出大于 246 °C 的试验点,以便显示居里点附近细节),这是因为陶瓷样品中有可能出现局部成分的微小不均匀,这种成分的涨落将导致各个成分微区的 T_c 存在一定的分布而出现介电峰宽化,并开始偏离 Curie 定律^[10]。

2.2 样品介电频谱

图 3 是样品不同温度状态下的电容与频率关系图,图 3(a)随着样品的温度不断接近居里温度时候,介电峰值越来越高,图 3(b)随着样品的温度不

断超过居里温度,介电峰值越来越小,这反映了图2介电温谱的情况;另外,在介电频谱中,都有介电异常峰值出现,该峰所对应的频率随温度变化不大,并且不与外加测试条件(比如引线的长短)的改变而变化,这说明:该峰属于样品本身的共振效应,即压电峰,且9505材料的谐振频率对于温度变化较为稳定,本文认为出现该压电作用可能与PZT反铁电—铁电相界处的反铁电双子晶格相互耦合作用有关^[3],随着温度升高,耦合作用增强,压电效应增强,压电峰值增高(图3(a))但由于超过居里温度后导致顺电相出现,耦合作用进而减弱,压电峰减弱至消失(图3(b)),基于设备的频段范围(最高为120MHz),我们不能测试更高频率的情况,进行更高频率的介电测量以及理论公式拟合,深入描述该压电效应产生的机制是今后努力的方向。

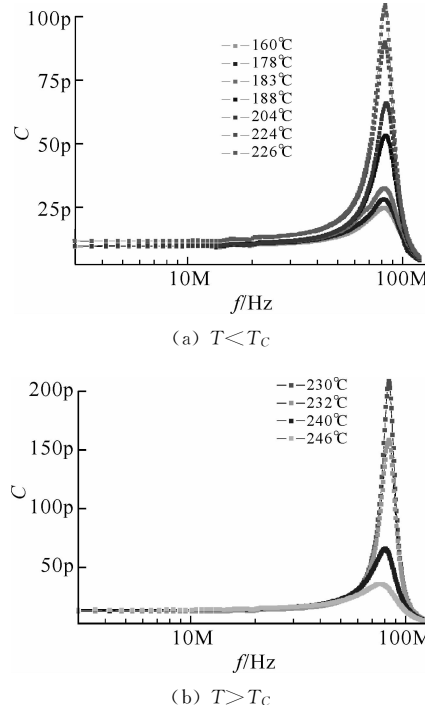


图3 不同温度的介频谱

Fig. 3 Dielectric spectrum in different temperature

图4是样品在250℃下的介电频谱,该温度下,压电效应的介电峰消失,介电常数不断下降,根据相变温度考虑,说明此时呈现完全顺电情况,注意这里的顺电相并不是超过居里点($T_c = 227^\circ\text{C}$)后随即出现,其原因也是由于样品中出现局部的成分微小程度的不均匀,导致微区的 T_c 存在分布造成。根据介电谱理论,复介电常数随频率的变化关系属于典型的介电弛豫,样品最可几弛豫时间可根据介电常数虚部极大值对应的频率算出,结果为 $1/(2\pi \times 67.1 \times 10^6) = 2.37 \times 10^{-9}\text{ s}$,其量级属于无线电频段,满足电子工业相关需要。图5是样品的漏电流和偏压的关系曲线,并结合图4发现样品的介电损耗稍大,主要有以下原

因:其一,压片时所用压力不够,导致素坯内部有微空隙,烧结温度没有控制好影响了陶瓷致密性;再者,测样时测试电极不平或者没有夹紧陶瓷样品,以及银电极内部质地不均匀,在高温和强电流作用下导致样品漏电流损耗加大;另外,也与施加的测试电压及频率有关系,这些问题将在后续研究中进行深入分析与解决。图6是以图4中复介电常数实、虚部为坐标轴绘制的Cole-Cole曲线,曲线呈现不对称形态,弛豫时间为多弛豫时间且呈非对称分布,不是典型的单一弛豫时间的德拜弛豫,属于极化弛豫的普适关系——多体模型,具体说,引起该弛豫的原因是钙钛矿结构中处于B位的不同能量相关态的钛离子和锆离子的低能量跃迁,带电粒子的跃迁激活能覆盖了广阔的能量区间,从而导致了非德拜型多弛豫时间分布的介电频谱的现象^[17]。

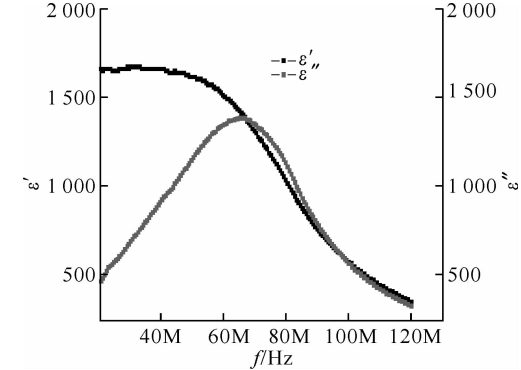


图4 250 ℃样品介电频谱

Fig. 4 Dielectric spectrum in 250 °C

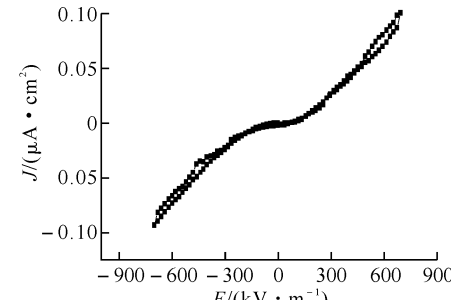


图5 样品漏电流和偏置电场关系曲线

Fig. 5 Leakage current under bias voltage curves

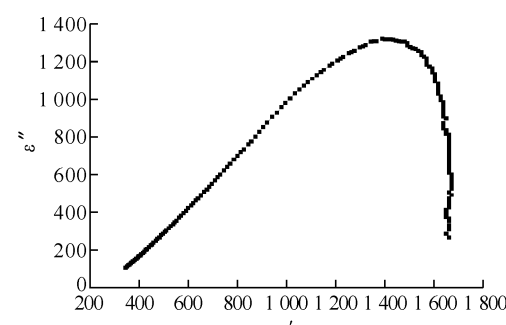


图6 250 ℃样品的Cole-Cole曲线

Fig. 6 Cole-Cole curves in 250 °C

3 结语

通过介电温谱的测试样品属于9505型铁电陶瓷,样品介电常数在较大温度范围内比较稳定($10^3 \sim 10^4$ 数量级)且数值很大,铁电相变属于钙钛矿结构的一级相变;介电频谱中,样品在80 MHz左右出现压电效应;顺电相区出现介电弛豫现象,不属于典型的德拜弛豫,而是极化弛豫的多体模型,即普适介电弛豫关系。

参考文献:

- [1] 夏志国,李强.PZT基反铁电材料的研究进展[J].人工晶体学报,2006,35(4):835-843.
- [2] WANG Yong-ling, CHENG Zhi-ming, SUN Yang-ren, et al. Phase transition study of PZT 95/5 ceramics[J]. Physica B, 1988, 150: 168-174.
- [3] 董显林,孙大志,王永令.PZT基陶瓷反铁电-铁电压电各向异性的研究[J].无机材料学报,1995,10(2):193-198.
- [4] GONG Chang, FENG Yu-jun, XU Zhuo, et al. Chemical prepared niobium modified PZT-95/5 antiferroelectric ceramics and the field-induced phase transformation properties [J]. Journal of Electroceramics, 2008, 21: 283-286.
- [5] 倪尔瑚.材料科学中的介电谱技术[M].北京:科学出版社,1999:11.
- [6] 曾庆冰,李效东,陆逸.溶胶—凝胶法基本原理及其在陶瓷材料中的应用[J].高分子材料科学与工程,1998,14(2):138-143.
- [7] 田红梅,毕宇,徐旺.溶胶—凝胶法制备纳米钛酸钡[J].武汉工程大学学报,2010,32(3):28-30.
- [8] 边亮,杨世源,宋绵新,等.PEG对溶胶—凝胶法制备PZT粉体性能的影响[J].化工新型材料,2007,35(1):48,49,66.
- [9] 张立德.纳米材料[M].北京:化学工业出版社,2000:1-139.
- [10] 陈小兵,严峰,李春华,等. $PbZr_{0.52}Ti_{0.48}O_3$ 陶瓷畴界粘滞运动的介电损耗模拟[J].物理学报,1999,48(8):1529-1534.
- [11] 钟维烈.铁电物理学[M].北京:科学出版社,1996:342,351.
- [12] 张良莹,姚熹.电介质物理[M].西安:西安交通大学出版社,1991:203,433.
- [13] 郑曙光,徐卓,冯玉军,等.等静压和温度作用下 $Pb(Zr,Sn,Ti)O_3$ 陶瓷的介电性能研究[J].西安交通大学学报,2002,36(10):1004-1007.
- [14] 朱音音,孙大志,刘恒,等.梯度PZT铁电陶瓷的介电性质[J].上海师范大学学报:自然科学版,2006,35(4):58-60.
- [15] NIE Heng-chang, FENG Ning-bo, CHEN Xue-feng, et al. Enhanced Ferroelectric Properties of Intragranular-Porous $Pb(Zr_{0.95}Ti_{0.05})O_3$ Ceramic Fabricated with Carbon Nanotubes[J]. J Am Ceram Soc, 2010, 93(3): 642-645.
- [16] 田中哲郎.压电陶瓷材料[M].陈俊彦,译.北京:科学出版社,1982:45.
- [17] Fasquelle D, Carru J C. Electrical characterizations of PZT ceramics in large frequency and temperature ranges [J]. Journal of the European Ceramic Society, 2008, 28: 2071-2074.

Dielectric spectrum characterization for PZT9505 ceramic

ZHANG Chao, WEI Zhi-kui, YU Da-shu

(School of Physics & Electronic Information Science, Tianjin normal University, Tianjin 300389, China)

Abstract: PZT9505 ceramic made by Sol-Gel process was tested by dielectric spectrum including the dielectric spectrums for temperature and frequency, leakage current under bias voltage, respectively, the results showed that the Sol-Gel method could control the composition accurately compared with the traditional solid phase synthesis method, the sample has large and stable dielectric constants ($10^3 \sim 10^4$) in the large temperature range and piezoelectric effect occurred in electrical frequency range for industrial application. The dielectric relaxation for the sample is not typical Debye model but the many-body model on relaxation polarization.

Key words: Sol-gel; antiferroelectric; dielectric spectrum; many-body model

本文编辑:龚晓宁